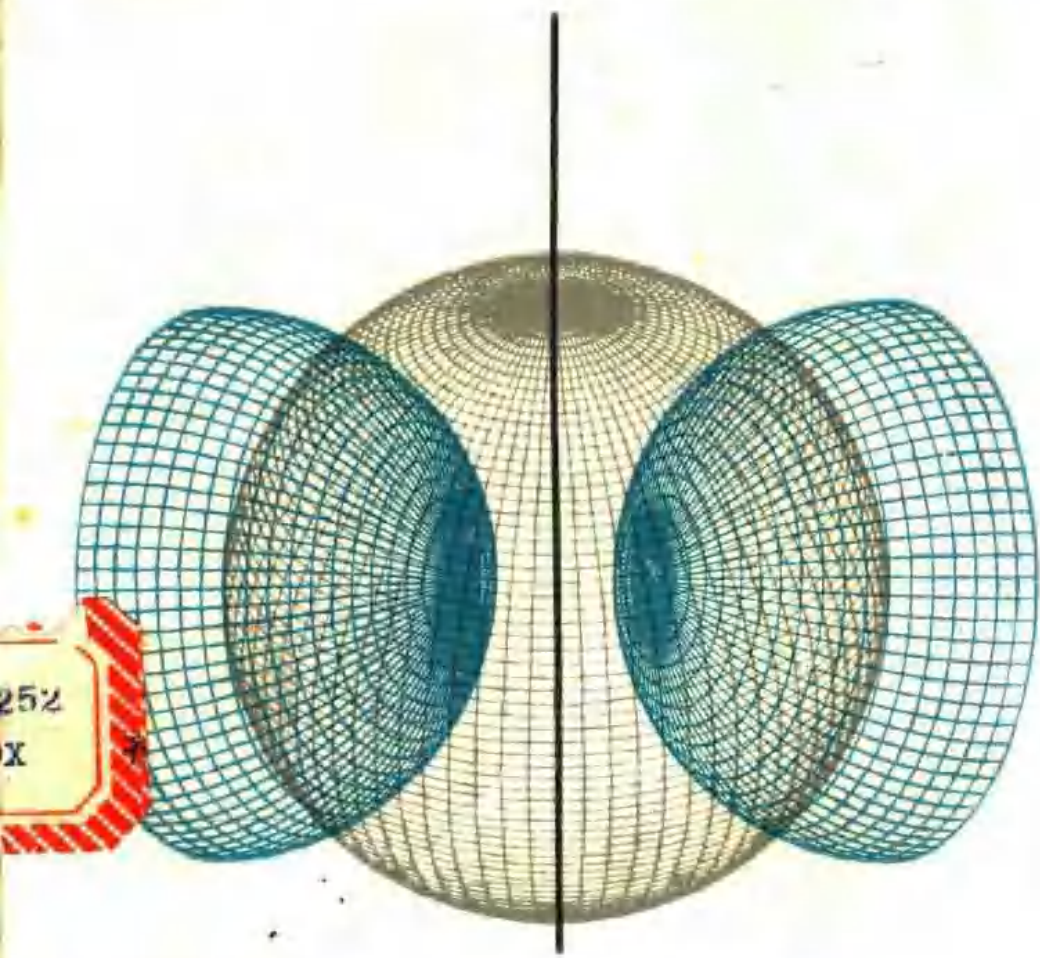


# 图形及其 计算机探索

齐东旭 梁振珊 马驷良 编  
吉林大学出版社



252  
X

# 图形及其计算机探索

齐东旭 梁振珊 马泗良 编

吉林大学出版社

## 图形及其计算机探索

齐东旭 梁振珊·马卿良 编

---

责任编辑：赵洪波

封面设计：张沫沉

吉林大学出版社出版  
(长春市解放大路85号)

吉林省新华书店发行  
·吉林工学院印刷厂印刷

开本：850×1168毫米 1/32

1989年12月第1版

印张：6.25

1989年12月第1次印刷

字数：154千字

印数：1—500册

---

ISBN 7—5601—0416—9/N·7

定价：1.75元

## 序　　言

我们生活在一个图形的世界里。

图形，它包括什么和不包括什么，从来没有一点疑问，却也总是说不清楚。数学研究大小与形状，即数与形，可能是离散的，也可能是连续的；有时是有限的，有时是无穷的。数与形难以截然分开，它们的关联与转化，形成丰富无比的数学世界。

人们习惯把对形的研究归入几何学。就此而言，有各种各样的几何学，任何一种几何，都是从某个方面或某种观点、手法，对图形作出定性或定量的研究。没有哪一种几何可以把图形的研究包罗详尽。

在欧几里得时代，对图形的研究大约仅限于直线形、圆之类的简单对象。就连最基本的几何对象“什么是曲线”这一问题的研究，从阿基米德到Урысон，经历了两千年艰苦的岁月；人类在图形面前显得软弱无力！

后来出现了计算机。

开始时，计算机在数值计算方面显示出人力不可比拟的高效率。然而，就处理图形来说，当时连最简单的直线段也画不出来。随着计算技术的进步，计算机的图形处理功能大为增强，对此最为关注的，首先是与图纸打交道的工程师。图，是工程师的共同语言。一件产品从设计到生产，常常需要数十张甚至成百上千张的图纸。任何差错都可能增加巨大的工作量。因而，当CAD/CAM的各式各样软硬件大批涌现时，工业界有识之士立即以它改变了自己原有的工作方式。

良好的硬件环境、完整的数学模型、有效的软件系统，是发展计算机图形研究及应用的必不可少的条件。

本世纪60年代，法国优秀工程师Bézier在雷诺汽车公司成功地创建了第一条自动流水线。它依据的数学基础发展成一套有效的技巧。这里，古老的Bernstein多项式理论得到了成功的应用，工程师们在计算机屏幕上设计曲线，就像使用往常的作图工具一样得心应手。Bezier多方面的功绩使他在晚年获得了Coons奖；Coons和Bézier被人誉为计算机图形学的开拓者。早在1946年，J.J.Schoenberg便奠定了样条函数的理论基础。随着计算机的发展，样条函数方法在CAD/CAM中发挥了巨大的作用。样条函数与Bernstein理论的沟通，更使自由曲线（面）的设计与研究提高到新的水平。就是在这样的实践背景下，产生了一个新的数学分支——计算几何学。

按A.R.Forrest的说法，计算几何是“用计算机分析综合几何形状信息的分支”。著名数学家苏步青教授指出，计算几何是“代数几何、微分几何、逼近论、计算数学和数控技术的边缘学科”。这就是说，计算几何是强调计算机作用的、涉及领域非常广阔的学科。

目前，计算几何研究的首要对象，是诸如汽车车身设计、飞机外形设计、服装设计、建筑设计等几何造型问题。大体上说，这类对象是“规则”的。

另一方面，“非规则”的几何对象比比皆是。诸如山脉、云烟、波浪、树木、闪电，以及星团、断痕、浸润、肺膜等等，人们发现，没有哪一类传统的方法对此有效。这种非规则的对象尚缺乏恰当的数学模型。

近些年来，经常出现一个叫做“分形”的名词，即Fractal。它是B.Mandelbrot首先命名的。分形几何可以说是本世纪有重大影响的成果之一。1985年的Barnard奖章、1986年的Franklin奖章相继授予了Mandelbrot，以表彰他对科学（不仅是数学）的贡献。Mandelbrot 1924年生于波兰华沙，后移居巴黎、美国，现为Yale大学数学教授。对分形的研究，其重要性远远超出了几何

学的范围。分形出现在许多物理、化学、生物，以及诸多动力系统的理论及实际课题之中。John A.Wheeler说：“谁不熟悉分形，谁不算是科学家”。这话也许说的过分。不过，分形值得普遍重视确是对的。

要了解分形，常常要回顾早年古老的事情：Peano 曲线、Koch曲线和Weierstrass 的处处连续而处处不可微的反例等等。然而，对历史的回顾，并不意味着分形的发明早在一百年前。Mandelbrot 在他的文章“Fractals and the Rebirth of Iteration Theory”(见H.O.Peingen,P.H.Richter,“The Beauty of Fractals”,pp.151—180) 中特别评论早年优秀数学家们的工作，写道：“……值得赞扬，是由于他们发明了如此的结构，使我能最后把它们串连一起，从而寻到其宝贵的价值；应该受到指责，是由于他们没能把这些结构之间，看到并开发出一种密切的内在联系。他们对待每一结构，象是对待一个畸形怪胎或不受欢迎的反例，这就从根本上忽视和疏漏了它们真实而深刻的内涵。”在近代科学进展中，Fractal与分歧(Bifurcation)、混沌(Chaos)交织在一起尤为物理学家关注，这是毫不奇怪的。计算机辅助分析过程的无限嵌套的几何结构，产生一幅幅变化莫测的、奇境般的图象，使理论工作者叹为观止。计算机对图形研究所起的作用，绝不亚于显微镜对生物、医学的作用。就连早先科学家不直接涉足的艺术领地，分形也提出挑战：在计算机屏幕上生成的山脉、彩云、花草、树木的画面，已开始达到以假乱真的程度！

本书的内容，曾作为吉林大学计算几何方向硕士研究生课程，试用过三期。我们在这本书里讨论图形，特别强调用计算机这一实实在在的工具探索图形的生成、图形的内在属性。由于图形含义太广泛了，我们只能从某几个角度来讨论，不可能是面面俱到。在 CAD/CAM 中极其实用的自由曲线、自由曲面的生成、我们开列两章讨论其数学基础；对分形，本书只是初步介绍，这些对在计算机上生成图形都是必不可少的基础。至于拼嵌群一章，

我们认为它是从事计算机图形研究和应用的人应有的数学修养。本书最后一章取名数学实验，通过几个题目，体会图形给人们的启示。这几个例子虽然互不相干，但是足以引起人们思索：假若没有计算机，人类在图形面前仍是软弱无力的；计算机使我们真正地进入了图形世界。

作者

1989年

# 目 录

## 序 言

<b>第一章 自由曲线</b>	.....	( 1 )
§1 基本概念和调配函数	.....	( 2 )
1. 几何信息的计算机表达	.....	( 2 )
2. 插值与拟合	.....	( 4 )
3. 调配函数生成的一般准则	.....	( 5 )
4. 构造调配函数的一类模型——URN	.....	( 6 )
§2 Bézier 曲线	.....	( 9 )
1. Bézier 曲线的定义	.....	( 9 )
2. de Casteljau 算法和子分划算法	.....	( 10 )
3. 导数	.....	( 12 )
4. 合成和几何连续	.....	( 12 )
5. 控制点的重复使用	.....	( 13 )
6. 升阶公式	.....	( 14 )
§3 B 样条曲线	.....	( 14 )
1. B 样条曲线	.....	( 15 )
2. de Boor 算法和子分划算法	.....	( 17 )
3. 导数	.....	( 19 )
4. B 样条曲线和 Bezier 曲线的关系	.....	( 19 )
5. 样条插值和逼近	.....	( 20 )
§4 多节点 B 样条曲线	.....	( 21 )
1. 磨光算子	.....	( 21 )
2. 多节点 B 样条磨光曲线	.....	( 22 )
3. 多节点基样条插值曲线	.....	( 24 )
§5 有理曲线	.....	( 26 )
1. 有理 Bezier 曲线	.....	( 26 )

2. 有理 B 样条曲线	( 27 )
3. 圆锥曲线	( 27 )
4. Ball 曲线	( 28 )
<b>§6 曲线段的拼接与调配</b>	( 30 )
1. Coons 曲线段	( 30 )
2. 分段三次 C <sup>1</sup> 插值曲线	( 32 )
3. 曲线的调配拼接	( 34 )
4. 调配曲线	( 34 )
<b>第一章主要参考文献</b>	( 36 )
<b>第二章 自由曲面</b>	( 40 )
<b>§1 乘积型曲面</b>	( 40 )
1. 乘积型 Bézier 曲面	( 41 )
2. 乘积型 B 样条曲面	( 42 )
3. 乘积型均匀 B 样条曲面	( 43 )
<b>§2 有限插值和超限插值</b>	( 44 )
1. 直纹面和有限插值	( 44 )
2. 再生性和精度集合	( 48 )
3. Coons 曲面片	( 49 )
4. Coons 曲面片的各种变体	( 53 )
5. Brown 曲面	( 56 )
<b>§3 非四边形曲面片</b>	( 57 )
1. 三角形域上的超限插值	( 58 )
2. 三角形域上的有限插值	( 64 )
3. 五边形曲面片	( 65 )
<b>§4 Bernstein-Bézier 三角形曲面片</b>	( 69 )
1. 三角形剖分和 Bézier 网	( 69 )
2. Bernstein-Bézier 三角形曲面片	( 70 )
3. de Casteljau 算法和升阶公式	( 71 )
4. 方向导数	( 72 )
5. 子分划算法	( 72 )
<b>§5 散乱数据的曲面拟合</b>	( 74 )

1. Shepard 方法	( 74 )
2. 基于三角形剖分的插值方法	( 76 )
3. B 样条曲面的最小二乘拟合	( 80 )
4. 二步逼近法	( 80 )
5. 任意曲面上散乱数据的拟合问题	( 83 )
<b>第二章 主要参考文献</b>	( 84 )
<b>第三章 拼嵌群</b>	( 87 )
§1 群	( 87 )
1. 群和子群	( 87 )
2. 陪集、共轭关系、商群	( 90 )
3. 同态、同构	( 91 )
§2 Euclid 群	( 92 )
§3 拼嵌群	( 95 )
1. 离散群	( 95 )
2. 平移子群	( 97 )
3. 正常拼嵌群	( 100 )
4. 一般拼嵌群	( 103 )
5. 不同样模的铺嵌	( 105 )
6. 不规则铺嵌	( 105 )
<b>第三章 主要参考文献</b>	( 106 )
<b>第四章 分形</b>	( 107 )
§1 海岸线模型	( 107 )
§2 Koch 曲线	( 109 )
§3 “充满平面”的曲线	( 113 )
§4 Cantor 集与 Devil 台阶	( 116 )
§5 非线性映射	( 117 )
§6 Mandelbrot 集	( 120 )
§7 图形生成的步骤	( 123 )
§8 Apollonian 包装及 Perron 树	( 127 )
§9 分形插值	( 130 )

第四章 主要参考文献	( 135 )
<b>第五章 自相似</b>	( 136 )
§1 关于基的概念	( 136 )
§2 Gauss 整数与复数基	( 137 )
§3 复平面上 Gauss 整数的表示	( 139 )
§4 复平面上的分形	( 141 )
§5 坐标的按位分离	( 145 )
§6 分离数组的自相似结构	( 147 )
§7 自相似结构上的正交组	( 151 )
第五章主要参考文献	( 153 )
<b>第六章 数学实验</b>	( 155 )
实验一 关于 Чебышев 多项式的新发现	( 155 )
实验一参考文献	( 158 )
实验二 Gauss 和的图示	( 158 )
实验二参考文献	( 160 )
实验三 复平面上 $x^1 \rightarrow x^2$ 的二进分解	( 161 )
实验三参考文献	( 163 )
实验四 从确定的过程产生非确定的结果	( 163 )
实验四参考文献	( 167 )
实验五 “虚假”分歧动力系统的产生 与差分格式的关系	( 168 )
1. “虚假”的不变圆周	( 168 )
2. 差分格式的分析	( 173 )
3. Euler 格式的改进	( 178 )
实验五参考文献	( 183 )
实验六 参数形式的曲面绘图	( 183 )
实验六参考文献	( 187 )

# 第一章 自由曲线

作为计算机辅助图形生成的数学方法，第一章和第二章介绍CAGD中的自由曲线和自由曲面的设计。

CAGD是计算机辅助几何设计(Computer Aided Geometric Design)的缩写。它是用计算机表达、设计并处理曲线、曲面、实体等几何信息的新研究领域。自由曲线和自由曲面的设计，不仅在诸如汽车车身、船体、飞机机身和机翼、涡轮叶片、服装和鞋样、器皿和玩具等各种产品的造型中起着关键作用，而且在地质勘探、海洋、气象、物理学甚至医学现象的实验数据的曲面拟合中，也有广泛应用。在现代计算机出现以前，曲面是用曲线族来描述的，例如，在产品造型中，通常用截口线和一些特征线来刻画产品的形状，利用这些信息制作样板，再用样板生成主模型，最后用拷贝方法由主模型做出冲模。近三十年来，随着数控机床和计算机的飞跃发展，要求曲面设计计算机化，即要求建立数学模型。本世纪60年代，S.A.Coons(见〔1〕)和P.E.Bézier(见〔2〕)先后完成了这一领域的奠基性工作。从此，曲面的古典设计方法开始退出历史舞台，产品的概念设计阶段，开始由计算机完成。设计者按照自己的构想，直接在计算机上设计产品模型，通过人机对话，对模型进行分析、修改和补充，直到满意为止。这就是CAGD。这里，曲线曲面的形状可按人们的主观意愿自由控制，可以结构合理而且外形优美，所以称作自由曲线和自由曲面。

本章介绍计算机上的自由曲线的设计，主要讨论Bézier方法和B样条方法。作为预备知识，第一节叙述基本概念和调配函数。

## §1 基本概念和调配函数

这里，作为预备知识，我们先来介绍计算机上的曲线和曲面的表达方式、插值和拟合的概念以及生成调配函数的一般准则。

### 1. 几何信息的计算机表达

我们用黑体字母表示  $R^3$  或  $R^2$  中的点，例如

$$\mathbf{p} = \begin{pmatrix} x \\ y \\ z \end{pmatrix}, \text{ 或 } \mathbf{u} = \begin{pmatrix} u \\ v \end{pmatrix}$$

曲线  $P(u)$  看作由实  $u$ -轴上的一个区间到  $R^2$  或  $R^3$  的映象；曲面  $P(u, v)$  看作由  $uv$ -平面上一个区域到  $R^3$  的映象。在计算机上，这样用参数的向量函数来表示曲线和曲面是方便的。

在CAGD中，通常将曲线和曲面分割为较小的段和片，而分别处理每个段和片。曲线由参数区域上的节点  $u_0 < u_1 < \dots < u_n$  分割为若干段；曲面由参数区域上的“割线”  $u=u_i$  和  $v=v_j$ ，(其中  $u_0 < u_1 < \dots < u_p$ ,  $v_0 < v_1 < \dots < v_q$ ) 分割为若干四边形片，或者对于参数区域上的三角形的若干三角形片。

曲线或曲面的每一片，对应于一个映射。如果这些映射在整个参数区域上是  $C^r$  连续的，我们就说曲线或曲面是  $C^r$  连续的。

为了统一表述这些小片，我们引进局部坐标  $t$  或  $\mathbf{r}=(r, s)^T$ ：对于参数值  $u \in [u_i, u_{i+1}]$  的曲线段  $P(u)$ ，我们引进局部坐标  $t$ ，令

$$u = (1-t)u_i + tu_{i+1} \quad (1.1)$$

于是这个曲线段便是  $t$ -轴上的单位区间  $[0, 1]$  的映象，如图1.1。对于参数值为  $u \in [u_i, u_{i+1}]$ ,  $v \in [v_n, v_{n+1}]$  的曲面片  $P(u, v)$ ，我们引进局部坐标  $\mathbf{r}=(r, s)^T$ ，令

$$u = (1-r)u_i + ru_{i+1} \quad (1.2)$$

$$v = (1-s)v_n + sv_{n+1}$$

这样，曲面片便是 $rs$ -平面上的单位正方形 $[0,1] \times [0,1]$ 的映象，如图1.2。

对于三角形曲面片，我们沿 $uv$ -平面上三角形的两个边，引进仿射坐标 $r = (r, s)^T$ ，使得三角形曲面片是 $rs$ -平面上半个单位正方形的映象，如图1.3。为了对称起见，通常引进第三个坐标 $t = 1 - (r + s)$ ，使得

$$u = r\mathbf{a} + s\mathbf{b} + t\mathbf{c}$$

这里 $\mathbf{a}, \mathbf{b}, \mathbf{c}$ 是 $uv$ -平面上三角形的顶点，局部坐标 $r, s, t$ 叫做点 $u$ 关于 $\mathbf{a}, \mathbf{b}, \mathbf{c}$ 的重心坐标（正如 $1-t, t$ 是直线段上的重心坐标一样）。为强调对称性，图1.3中对称地在 $rst$ -平面上画出了单位正

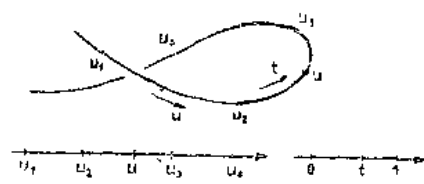


图1.1

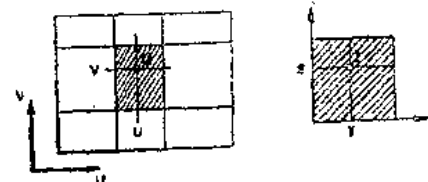
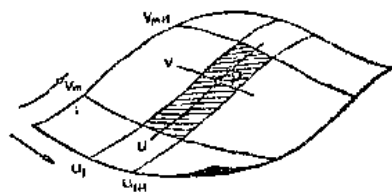


图1.2

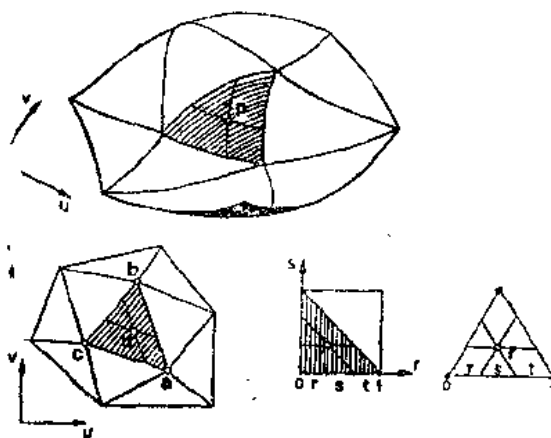


图1.3

三角形，对于  $uv$ - 平面上任一点  $u$ ，方程组

$$\begin{aligned} ar+bs+ct &= u \\ r+s+t &= 1 \end{aligned} \quad (1.3)$$

的解  $(r, s, t)$  给出  $u$  关于  $a, b, c$  的重心坐标。由 Cramer 法则可以看出重心坐标的面积性质。所以平面重心坐标又叫面积坐标。

## 2. 插值与拟合

曲线和曲面由无限多个点组成，设计人员或测量仪只能给出其中部分点的坐标，这就是所谓型值点，逐个通过这些型值点构造出的曲线或曲面，叫做插值型的。熟知的 Lagrange 曲线

$$P(u) = \sum_{i=0}^n p_i L_i^n(u) \quad (1.4)$$

便是插值型的。其中  $L_i^n(u)$  是满足

$$L_i^n(u_k) = \delta_{i,k} \quad (1.5)$$

的  $n$  次 Lagrange 多项式，并有  $\sum_{i=0}^n L_i^n(u) = 1$ 。 $\{p_i\}_0^n$  为给定的型值点，曲线(1.4)通过型值点： $P(u_i) = p_i$ ， $i = 0, 1, \dots, n$ 。应当指出，这种插值曲线，当  $n$  较大时出现摆动（即所谓 Runge 现象），在产品几何设计中是不实用的。在 CAGD 中，通常用 Bézier 曲线段(§2)合成插值曲线，或用 B 样条曲线(§3)构造插值曲线。此外，也常用 Hermit 曲线段

$$H(t) = \sum_{k=0}^m \left[ D^k p_0 H_{k,m-k}^{2m+1}(t) + D^k p_1 H_{2m+1-k}^{2m+1}(t) \right] \quad (1.6)$$

来合成插值曲线。其中  $t \in [0, 1]$  是局部参数， $D^k p_i = D^k H(i)$ ， $i = 0, 1$ ， $k = 0, 1, \dots, m$  为给定的型值信息。对于经常使用的三次 Hermit 曲线段 ( $m=1$  的情形)，我们将在 §6.1 中具体讨论。

在 CAGD 中，设计某种产品的外形时，常常只能给出其关键部位的轮廓，即给定所谓控制点。依次连接这些控制点形成的折线（或多面体），叫做控制多边形（或多面体）。这是产品外形的粗糙近似，即产品的“毛坯”。正像工业上对毛坯经过削刨铣磨加工成精致的工件一样，数学上可以利用这些控制点生成保持控

制多边形（或多面体）大体形状的光滑曲线（或曲面）。这种不是逐个通过控制点而保持控制多边形（或多面体）轮廓的曲线（或曲面），叫做拟合型的。有时形象地叫做磨光曲线或磨光曲面。 $\S 2$ 和 $\S 3$ 中的Bézier曲线和B样条曲线都是拟合型的，处理实验数据的最小二乘曲线，也是拟合型的。

### 3. 调配函数生成的一般准则

从给定的型值点得到插值曲线或拟合曲线，通常是将型值点的坐标各自乘以一个函数，这个函数的自变量一经指定，就相当于对型值点作出一个线性组合，因此把这类函数称作调配函数。

设  $p_0, p_1, \dots, p_N$  为型值点。拟合曲线应线性依赖于这些型值点，以便能按比例放大及迭加，因此拟合曲线用调配函数写成

$$P(t) = \sum_{i=0}^N p_i \varphi_i(t), \quad t \in [0, 1]$$

怎样选取  $\varphi_0(t), \varphi_1(t), \dots, \varphi_N(t)$  呢？

根据设计需要，在CAD/CAM的典型问题中，对  $\varphi_i(t)$  常提出如下要求，也就是调配函数生成的一般准则：

(1) 当  $p_0 = p_1 = p_2 = \dots = p_N$  时， $P(t)$  应收缩为同一点，于是  $P(t) = p_0 = \sum p_i \varphi_i(t) = p_0 \sum \varphi_i(t)$ ，即应有

$$\sum_{i=0}^N \varphi_i(t) = 1 \quad (1.7)$$

当型值点位于同一直线上时，有

$$p_i = p_0 + \alpha_i(p_1 - p_0)$$

于是

$$\begin{aligned} P(t) &= \sum (p_0 + \alpha_i(p_1 - p_0)) \varphi_i(t) \\ &= p_0 + (p_1 - p_0) \sum \alpha_i \varphi_i(t) \end{aligned}$$

仍为直线。

(2) 拟合曲线落在型值点的凸包之内，且有保持型值点的凸性的性质，这时要求

$$\varphi_i(t) \geq 0, \quad i = 0, 1, \dots, N, \quad t \in [0, 1] \quad (1.8)$$

(3) 为了使对给定次序的型值点拟合出的曲线，在反方向（即  $p_i$  换成  $p_{N-i}$ ）之下是不变的，要求调配函数满足

$$\varphi_i(t) = \varphi_{N-i}(1-t), \quad i=0, 1, \dots, N, \quad t \in [0, 1]$$

(4) 注意曲线拟合在几何造型上的应用，必须考虑到计算机上响应速度，以便适用于交互设计。这样一来， $\varphi_i(t)$  的表达应尽量简单。所以，取它们为某种多项式或分段多项式为佳。

(5) 拟合曲线对型值点的依赖性是个细致的问题。如果拟合曲线上任意点都与全体型值点紧密相关，则不易进行修改。因此，局部相依于型值点的拟合方法是受欢迎的。这个要求反映在调配函数上，即要求调配函数具有有限支集

$$\varphi_i(t) = 0, \text{ 当 } |t| \geq T$$

以上五条准则并不总是同等重要的，甚至对具体问题来说可能去掉或削弱某个要求，也可能增加新的要求。总之，各种不同的调配函数导致丰富多样的拟合方法。

#### 4. 构造调配函数的一类模型—URN

在概率论中，所谓 URN 模型早就被人用在简单随机过程的研究中。一些著名学者，如 Pascal, Fermat, Laplace 及 Bernoulli 等人，通过 URN 模型发展了博奕论及流体力学的某些理论与方法；近代数学家 Polyá 利用 URN 模型考察疾病传染的规律，可见 URN 模型是很有价值的。

通过 URN 模型，可以生成常用的调配函数，也可以产生新的调配函数。

本节介绍 Friedman 模型（见[3]）。并说明从这一观点可以统一得出 B 样条拟合及 Bezier 拟合方法中的调配函数。

Friedman 模型：假定盒中装有  $w$  个白球和  $b$  个黑球。现在从盒中任意抽取一球，并记录其颜色，然后放回盒中。如果取出的是白球，则向盒中增添  $c_1$  个白球和  $c_2$  个黑球；反之，如果取出的是黑球，则向盒中增添  $c_1$  个黑球和  $c_2$  个白球。

这样一来，无论第一次取出的球为何种颜色，在一次试验之